

ВЛИЯНИЕ КРУПНОМАСШТАБНЫХ ФЛУКТУАЦИЙ РАСПРЕДЕЛЕНИЯ ПРИМЕСЕЙ НА ТУННЕЛИРОВАНИЕ И ЭЛЕКТРОПОГЛОЩЕНИЕ В ОБРАТНО СМЕЩЕННЫХ $p-n$ -ПЕРЕХОДАХ

Кюрегян А. С.

Построена теория электропоглощения и прямого межзонного туннелирования в обратно смешенных $p^+ - i - n^+$ -структурах с однородно легированным и точно компенсированным i -слоем, учитывающая влияние крупномасштабных флуктуаций распределения примесей. Расчет показателя экспоненты Q в зависимостях средних коэффициента поглощения α и скорости туннелирования g от толщины w и легирования i -слоя, напряжения смещения U и энергии кванта $\hbar\omega$ проведен методом оптимальной флуктуации для произвольных закона дисперсии в запрещенной зоне и значений U , w , $\hbar\omega$. В предельных случаях полученная общая формула для Q совпадает с результатами ранее опубликованных работ Меркулова и Перел (ФТП. 1973. Т. 7. В. 6. С. 1197–1202), Райха и Рузина (ФТП. 1985. Т. 19. В. 7. С. 1217–1225). Показано, что при больших отрицательных смещениях полученные результаты применимы для расчета α и g в диффузионных $p-n$ -переходах с линейным распределением примесей в истощенном слое, которые являются наиболее подходящими объектами для экспериментального исследования влияния крупномасштабных флуктуаций на туннельные эффекты.

Введение. Одной из наиболее вероятных причин поглощения света с энергией кванта $\hbar\omega$, меньшей ширины запрещенной зоны ϵ_g , в сильно легированных полупроводниках является эффект Келдыша–Франца в электрических полях крупномасштабных флуктуаций концентрации заряженных примесей [1]. Теория этого эффекта была построена Шкловским и Эфросом [2] и обобщена Меркуловым и Перелем [3], которые рассмотрели также влияние однородного электрического поля на поглощение. Область применимости результатов этих работ ограничена малыми дефицитами энергии кванта $\Delta = \epsilon_g - \hbar\omega$ по двум причинам. Во-первых, в [2, 3] использовано приближение эффективной массы, справедливое только при $\Delta \ll \epsilon_g$. Во-вторых, реально достижимой степени компенсации макроскопически однородных образцов недостаточно для того, чтобы радиус экранирования r_0 превышал размеры оптимальной флуктуации R при больших Δ . Последнее ограничение автоматически снимается в истощенных слоях (ИС) обратно смешенных $p-n$ -переходов, где экранировка осуществляется носителями заряда, расположенными в квазинейтральных областях, и поэтому $r_0 \sim w > R$ (w — толщина ИС). Влияние флуктуаций на прямое межзонное туннелирование в $p-n$ -переходах при большом обратном смещении U было изучено для кейногского закона дисперсии Райхом и Рузином [4], которые получили формулы, совпадающие (см. сноску 1) с точностью до численного множителя с результатами работы [3] в пределе $\hbar\omega = 0$. Влияние флуктуаций на туннельный ток оказалось значительным также при практически недостижимой для изученных в [4] асимметричных p^+-n -переходов степени компенсации.

Целью настоящей работы является обобщение результатов [3, 4] на случай произвольных обратного смещения, отношения Δ/ϵ_g и закона дисперсии. В качестве модели $p-n$ -перехода мы используем p^+-i-n^+ -структуру со ступенчатым легированием и точно компенсированным i -слоем. Преимуществами этой модели по сравнению с использованной в [4] являются возможность полу-

чения точного результата при малых U и, что самое главное, ее пригодность для описания наиболее подходящих для исследования объектов — сильно легированных диффузионных $p-n$ -переходов с линейным распределением примесей в ИС.

1. Общая теория электроноглощения

Этот раздел посвящен расчету показателя экспоненты в зависимости коэффициента поглощения света $\alpha = \alpha_0 \exp[-Q(\hbar\omega, E_0)]$ от энергии кванта $\hbar\omega$ и напряженности поля $E_0 = U/w$ в i -слое $p^+ - i - n^+$ -структуры. Согласно общему подходу, развитому в [1-3], величина Q определяется релкими оптимальными флуктуациями концентраций заряженных доноров N_d и акцепторов N_a , для которых произведение вероятностей образования $\exp(-\Omega_N)$ и туннелирования $\exp(-\Omega_t)$ максимально: $Q = \min \{\Omega_N + \Omega_t\}$. В рассматриваемом случае выполняется [2, 4] условие $\mathcal{N}_{d,a} \equiv N_{d,a} - \bar{N}_{d,a} \ll \bar{N}_{d,a}$ применимости гауссовой статистики, поэтому [1]

$$\Omega_N = \frac{1}{2} \int d^3r \left(\frac{\mathcal{N}_d^2}{\bar{N}_d} + \frac{\mathcal{N}_a^2}{\bar{N}_a} \right). \quad (1)$$

Ось симметрии оптимальной флуктуации ориентирована вдоль поля $p-n$ -перехода, параллельного оси x , поэтому в квазиклассическом приближении

$$\Omega_t = \frac{2}{\hbar} \left\{ \int_{x_0}^{x_c} |\mathbf{p}[\epsilon_v + q\varphi(x) - q\varphi(x_v)]| dx + \int_{x_0}^{x_c} |\mathbf{p}[\epsilon_v + \hbar\omega + q\varphi(x) - q\varphi(x_v)]| dx \right\}, \quad (2)$$

где $x_{c,v}$ — классические точки поворота, x_0 — точка встречи квазиклассических траекторий электрона и дырки, $\mathbf{p}(\epsilon)$ — закон дисперсии в запрещенной зоне, $\epsilon_{c,v}$ — ее границы, $\varphi(x)$ — распределение потенциала вдоль оси оптимальной флуктуации. Для заданных x_v , $\hbar\omega$ и $\varphi(x)$ точка поворота x_c определяется очевидным равенством $q[\varphi(x_c) - \varphi(x_v)] = \Delta$, а точка встречи — условием минимума Ω_t , т. е. $d\Omega_t/dx_0 = 0$, откуда

$$|\mathbf{p}[\epsilon_v + q\varphi(x_0) - q\varphi(x_v)]| = |\mathbf{p}[\epsilon_v + \hbar\omega + q\varphi(x_0) - q\varphi(x_v)]|. \quad (3)$$

Так как для заданного в оптимальной флуктуации распределения потенциала изменение положения «стартовой точки» электрона x_v должно приводить к росту Ω_t , то $d\Omega_t/dx_v = 0$, откуда с учетом (3) получается дополнительное условие

$$\int_{x_0}^{x_v} \frac{d}{d\epsilon} |\mathbf{p}[\epsilon_v - q\varphi(x_v) + q\varphi(x)]| dx + \int_{x_0}^{x_v} \frac{d}{d\epsilon} |\mathbf{p}[\epsilon_c - q\varphi(x_c) + q\varphi(x)]| dx = 0. \quad (4)$$

Распределение потенциала с учетом флуктуаций $\mathcal{N}_{d,a}$, как известно, можно представить (в системе единиц СИ) в виде

$$\varphi(x) = \varphi_0(x) + \frac{q}{\pi} \int d^3r G(x, r) (\mathcal{N}_d - \mathcal{N}_a), \quad (5)$$

где ϵ — абсолютная диэлектрическая проницаемость, $\varphi_0(x) = E_0 x$ — не возмущенный флуктуациями потенциал, $G(r, r')$ — функция Грина уравнения Пуассона, вычисленная для нашего случая в работе [5]. Для определения Q необходимо проварировать сумму $(\Omega_N + \Omega_t)$ по $\mathcal{N}_{d,a}$ с учетом (3)–(5), как это было сделано в [4], в результате чего получается следующее уравнение для $\varphi(x)$:

$$\varphi(x) = \varphi_0(x) + \frac{qE_0^2}{4} \int_{x_v}^{x_c} \left(|x - x'| + 2 \frac{xx'}{w} \right) \frac{d\mathcal{P}}{d\epsilon} dx, \quad (6)$$

где

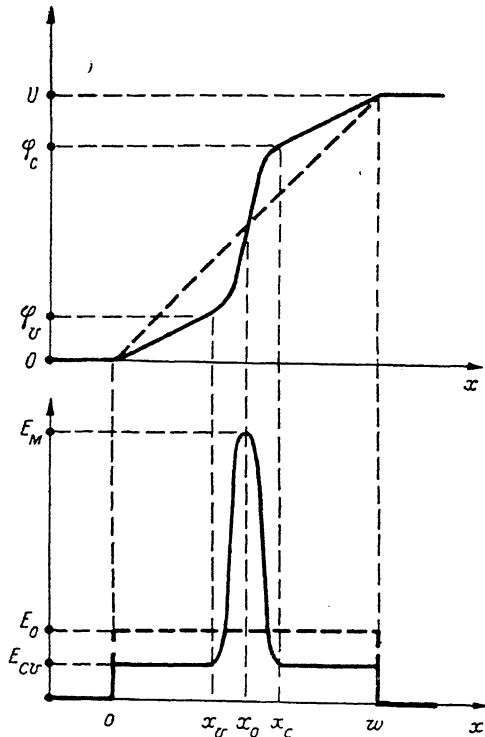
$$E_2 = \frac{a}{\pi} \sqrt{\frac{(N_d - \bar{N}_a)}{\pi a_0}}, \quad \mathcal{P} = \frac{|\mathbf{p}|}{p_0}, \quad p_0 \equiv \frac{\hbar}{a_0} \equiv \max |\mathbf{p}|,$$

а величина Ω_N оказывается равной

$$\Omega_N = \frac{q}{a_0} \int_{x_0}^{x_c} (\varphi_0 - \varphi) \frac{d\varphi}{d\varepsilon} dx. \quad (7)$$

Двукратное дифференцирование (6) по x приводит к дифференциальному уравнению

$$\frac{d^2\varphi}{dx^2} = \frac{qE_2^2}{2} \frac{d\varphi}{d\varepsilon}, \quad (8)$$



первый интеграл которого равен

$$\frac{d\varphi}{dx} = \sqrt{E_{cv}^2 + E_2^2 \varphi^2}, \quad (9)$$

а постоянная интегрирования

$$E_{cv} = E_0 \left(1 - \frac{\Delta}{qE_0 w} \right) \left(1 - \frac{x_c - x_v}{w} \right)^{-1} \quad (10)$$

равна (с точностью до знака) напряженности поля в точках поворота, где $\varphi=0$. Как и в работе [4], для вычисления Q нам не нужно находить явный вид функции $\varphi(x)$, а достаточно с помощью соотношения (9) перейти в формулах (2), (7), (10) к интегрированию по φ или, что то же самое, по ε . После несложных преобразований получается окончательный результат

$$Q = \frac{\varepsilon_g E_{cv}}{qE_2^2 a_0} \left[2K_+ \left(\hbar\omega, \frac{E_2}{E_{cv}} \right) + \left(\frac{E_0}{E_{cv}} - 1 \right) K_- \left(\hbar\omega, \frac{E_2}{E_{cv}} \right) - \frac{\Delta}{\varepsilon_g} \left(\frac{E_0}{E_{cv}} + 1 \right) \right], \quad (11)$$

где

$$K_{\pm}(\hbar\omega, y) = \frac{2}{\varepsilon_g} \left[\int_{\varepsilon_v}^{\varepsilon_\omega} (1 + y^2 \varphi^2)^{\pm 1/2} d\varepsilon + \int_{\varepsilon_\omega + \hbar\omega}^{\varepsilon_c} (1 + y^2 \varphi^2)^{\pm 1/2} d\varepsilon \right], \quad (12)$$

энергия ε_ω и поле E_{cv} являются корнями уравнений $|p(\varepsilon_\omega)| = |p(\varepsilon_\omega + \hbar\omega)|$ и

$$\Delta + qw(E_{cv} - E_0) = \frac{\epsilon_g}{2} K_- \left(\hbar\omega, \frac{E_2}{E_{cv}} \right), \quad (13)$$

которые следуют из (3) и (10) соответственно.

Как видно, параметры оптимальной флуктуации не зависят от ее положения в ИС, что является следствием однородности невозмущенного поля в $p^+ - i - n^+$ -диод. Распределения потенциала и напряженности поля вдоль оси флуктуации схематически изображено на рисунке. Напряженность поля E достигает максимального значения $E_m = \sqrt{E_{cv}^2 + E_2^2 \mathcal{F}(\epsilon_g)}$ в точке встречи x_0 , а за пределами области туннелирования остается постоянной и равной E_{cv} .

2. Анализ результатов

Полученные в предыдущем разделе общие формулы сильно упрощаются в ряде предельных случаев. В $p^+ - i - n^+$ -структуратах с толстой базой ($w \rightarrow \infty$) из (13) следует, что $E_{cv} \rightarrow E_0$, поэтому вместо (11) получается

$$Q = \frac{2\epsilon_g E_0}{qE_2^2 a_0} \left[K_+ \left(\hbar\omega, \frac{E_2}{E_0} \right) - \frac{\Delta}{\epsilon_g} \right]. \quad (14)$$

Для поглощения вблизи красной границы можно использовать приближения $|p| = \sqrt{2m_b(\epsilon - \epsilon_b)}$ и $|p| = \sqrt{2m_c(\epsilon_c - \epsilon)}$ вблизи потолка валентной зоны и дна зоны проводимости соответственно. В этом случае, как нетрудно убедиться, $\epsilon_w = (m_b\epsilon_b + m_c\epsilon_c - m_c\hbar\omega)(m_c + m_b)^{-1}$ и

$$K_{\pm}(\hbar\omega, y) = \frac{4}{y^4} \int_0^{y\sqrt{\Delta/\epsilon_g}} (1+z)^{\pm\frac{1}{2}} zdz. \quad (15)$$

В сильном внешнем поле, когда

$$E_0^2 \gg E_2^2 \sqrt{\Delta/\epsilon_g}, \quad (16)$$

из (11), (13) следует, что $E_{cv} \approx E_0$ и

$$Q = \frac{E_w}{E_0} \left(\frac{\Delta}{\epsilon_g} \right)^{\frac{1}{2}} \left(1 - \frac{3}{16} \frac{E_2^2}{E_0^2} \sqrt{\frac{\Delta}{\epsilon_g}} \right), \quad (17)$$

где $E_w = 4\sqrt{2\mu} \epsilon_g^{\frac{1}{2}} / 3q\hbar$, $\mu^{-1} = m_c^{-1} + m_b^{-1}$. Этот результат отличается от обычного эффекта Келдыша—Франца лишь относительно малым слагаемым, которое, однако, может быть много больше 1. В слабом поле, когда выполнено неравенство, противоположное (16), из (11), (13) и (15) получается

$$E_{cv} \approx E_0 - \frac{\epsilon_g - \Delta}{qw}, \quad (18)$$

$$Q = \frac{4\sqrt{3}}{\pi} \sqrt{\frac{E_w}{E_1}} \left(\frac{\Delta}{\epsilon_g} \right)^{\frac{1}{4}} - \frac{E_w}{E_1} \frac{\Delta}{\epsilon_g} \left(1 - \frac{\Delta}{2qE_0 w} \right), \quad (19)$$

где $E_1 = q^3 (\bar{N}_d + \bar{N}_a) / 4\pi\epsilon^2 \epsilon_g$. При $2qE_0 w \gg \Delta$ эта формула, как и следовало ожидать, совпадает¹ с результатом Меркулова и Переля [3]. В далекой инфракрасной области спектра, когда $\hbar\omega \ll \epsilon_g$, можно использовать разложение

$$K_{\pm}(\hbar\omega, y) = K_{\pm}(0, y) - 2 \frac{\hbar\omega}{\epsilon_g} (1+y^2)^{\pm\frac{1}{2}}.$$

В сильном поле (при $E_0^2 \gg E_2^2$) опять $E_{cv} \approx E_0$, а

$$Q = \frac{E_f}{E_0} \left(1 - \frac{\hbar\omega}{2E_f a_0} \right) \left(1 - \frac{E'_f E_2^2}{2E_f E_0^2} \right), \quad (20)$$

¹ В работе [3] последнее слагаемое этой формулы содержит лишний множитель $\sqrt{(N_d + N_a)a_B^3}$, возникший из-за арифметической ошибки при предельном переходе к слабым полям (a_B — боровский радиус).

где

$$E_f = \frac{2}{qa_0} \int_{\epsilon_g}^{\epsilon_c} \mathcal{P}(\epsilon) d\epsilon, \quad E = \frac{1}{qa_0} \int_{\epsilon_g}^{\epsilon_c} \mathcal{P}^2(\epsilon) d\epsilon.$$

В слабом поле ($E_0^2 \ll E_2^2$) величина E_{cr} снова определяется равенством (18),

а

$$Q = \xi \sqrt{\frac{E_f}{E_1}} \left(1 - \frac{2}{\xi} \sqrt{\frac{2}{\pi} \frac{\hbar\omega}{\epsilon_g}} \right) - \frac{E_0}{E_1} \left(1 - \frac{\epsilon_g}{2qE_0\omega} \right), \quad (21)$$

где

$$\xi = 2 \sqrt{\frac{2}{\pi}} \int_{\epsilon_g}^{\epsilon_c} \sqrt{\mathcal{P}(\epsilon)} \frac{d\epsilon}{\epsilon_g}.$$

Показатель экспоненты вероятности прямого межзонного туннелирования g совпадает с Ω_f при условии $\hbar\omega=0$. Поэтому расчет влияния крупномасштабных флюктуаций в этом случае полностью аналогичен изложенному выше и приводит к $g=g_0 \exp(-Q_0)$, где Q_0 определяется формулой (11), а в предельных случаях — формулами (14), (20) и (21) при $\hbar\omega=0$. В случае кейновского закона дисперсии $\mathcal{P}(\epsilon)=\sqrt{1-(2\epsilon/\epsilon_g)^2}$, введенные выше постоянные равны $E_f = \pi\sqrt{2m\epsilon_g^3}/4q\hbar$, $E'_f = 4E_f/3\pi$, $\xi = \Gamma^2(1/4)/3\pi$, а все полученные таким образом формулы для Q_0 совпадают при $w \rightarrow \infty$ с результатами Райха и Рузина [4].

Дальнейшее обсуждение мы проведем для наиболее интересного случая умеренного внешнего поля, определяемого неравенствами $E_1 \ll E_0 \ll E_2$, когда одновременно велика роль флюктуаций и сильны зависимости a и g от E_0 . Описывавшие этот случай формулы (19) и (21) обладают следующими особенностями, важными для анализа экспериментальных данных. Во-первых, туннелирование определяется главным образом полем флюктуаций E_2 , поэтому самое большое первое слагаемое вообще не содержит E_0 . Во-вторых, размер оптимальных флюктуаций

$$\tilde{R} \sim x_c - x_r \sim \frac{\epsilon_g}{qE_2} \left(\frac{\Delta}{\epsilon_g} \right)^{3/4} \ll \frac{\epsilon_g}{qE_0} \ll w \sim r_0,$$

поэтому даже в самых тонких $p-n$ -переходах роль экранирования невелика и сводится к появлению в показателе экспоненты относительно малого слагаемого $\Delta^2/2qE_1w\epsilon_g$. В-третьих, вид закона дисперсии, не влияя на полевую зависимость a и g , определяет численный множитель в первом слагаемом формул (19), (21) и, что самое главное, характер частотной зависимости коэффициента поглощения. Как видно, зависимость $\ln a \sim \Delta^{3/4}$, полученная Шкловским и Эфросом [2], с ростом дефицита энергии Δ становится линейной. Особенно наглядно этот переход проявляется при анализе логарифмической производной a . Например, для кейновского закона дисперсии

$$\frac{d \ln a}{d \hbar\omega} = \frac{1}{\epsilon_g} \left\{ \frac{8}{\pi} \frac{E_f}{E_2} \left[1 - \left(\frac{\hbar\omega}{\epsilon_g} \right)^2 \right]^{1/4} - \sqrt{2} \frac{E_0}{E_2} \right\}, \quad (22)$$

т. е. зависимость a ($\hbar\omega$) практически не отличается от простой экспоненты уже при $\hbar\omega \leq \epsilon_g/2$.

3. $p-n$ -Переход с линейным распределением примесей

Влияние флюктуаций на туннелирование в $p-n$ -переходах велико только при очень высокой степени компенсации, когда даже относительно малые флюктуации концентрации ($N_d + N_a$) вызывают сильные изменения плотности объемного заряда $q(N_d - N_a)$ [4]. Это утверждение еще в большей степени справедливо для случая электропоглощения, в чем проще всего убедиться на примере асимметричного $p^+ - n$ -перехода, для которого неравенство, противоположное (16), можно записать в виде

$$\frac{N_d - N_a}{N_d + N_a} \ll \frac{q}{2\pi\epsilon_0 a_0 U} \sqrt{\frac{\Delta}{\epsilon_g}} \ll 10^{-2} \sqrt{\frac{\Delta}{\epsilon_g}}.$$

Как уже говорилось выше, обеспечить столь высокую степень компенсации однородно легированных слоев практически невозможно. Между тем подавляющее число используемых на практике $p-n$ -переходов изготавливается путем диффузии, например, акцепторов в однородно легированный материал n -типа. Если глубина диффузии x_j и концентрация доноров в исходном материале достаточно велики, то вплоть до напряжения пробоя во всем ИС можно использовать разложения

$$\bar{N}_d(x) = \bar{N}_d - ax, \quad (23)$$

$$\varphi_0(x) = \varphi_0(0) + E_{0m}x - \frac{qa}{6\pi}x^3, \quad (24)$$

где максимальная напряженность поля $E_{0m} = qau^2/8\pi$, а падение напряжения на ИС связано с его толщиной соотношением $U = qua^3/12\pi$. Метод расчета параметров оптимальных флуктуаций для модели «линейного» $p-n$ -перехода полностью аналогичен изложенному в разделе 1, но с двумя оговорками. Во-первых, используя функцию Грина из работы [5], мы подразумевали, что плоские границы ИС не искажаются флуктуациями. В $p^+ - i - n^+$ -структурах это предположение оправдано при $E_{cv} > 0$, поэтому из (10) и очевидного неравенства $w > x_c - x_v$ следует, что границы остаются плоскими при условии $\Delta < qE_{cv}w$, которое выполняется для любого отрицательного смещения. В линейных $p-n$ -переходах толщина ИС уменьшается вблизи оптимальной флуктуации на величину $\Delta w \sim w(1 - E_{cv}/E_{0m}) \leq w\Delta/qU$, поэтому этим эффектом можно пренебречь только при $qU \gg \Delta$. Во-вторых, оптимальные флуктуации не распределены равномерно по толщине ИС, как в $p^+ - i - n^+$ -структурах, а сосредоточены вблизи плоскости металлографического $p-n$ -перехода $x=0$, где невозмущенное поле максимально. По этой причине, подставляя (24) в (6), можно пренебречь последним слагаемым, которое в пределах области туннелирования много меньше линейного в силу неравенства $2qw \ll (E_{0m}, E_2) \gg \Delta$. Область применимости разложений (23), (24) ограничена условием $aw \ll \bar{N}_d$, которое автоматически обеспечивает высокую степень компенсации и позволяет пренебречь зависимостью \bar{N}_d от x при вычислении ΩN , так как $\tilde{R} \sim x_c - x_v \ll w$. Таким образом, все полученные выше результаты можно использовать при $qU \gg \Delta$ и для модели линейного $p-n$ -перехода, заменив E_0 на E_{0m} . В частности, из (21) следует, что обратный ток j зависит от напряжения U по закону

$$\ln \frac{j}{j_0} = -\xi \sqrt{\frac{N_1}{\bar{N}_d}} + \left(\frac{U}{U_1}\right)^{1/2} \frac{N_1}{\bar{N}_d}, \quad (25)$$

где $N_1 = 2\pi\epsilon_0^2 \epsilon_g E_j / q^3$, $U_1 = (32\pi E_j^3 / 9qa)^{1/2}$. Последнее слагаемое определяет также полевую зависимость коэффициента поглощения света в ИС линейных $p-n$ -переходов.

Изготовление диффузионных $p-n$ -переходов с параметрами, подходящими для проведения экспериментов, не представляет особого труда. Например, при глубине диффузии $x_j = 50$ мкм в материал с $\bar{N}_d = 10^{19} \text{ см}^{-3}$ получаются типичные значения параметров полупроводников: $E_1 = 2.5 \cdot 10^4$, $E_2 = 1.25 \cdot 10^6$ В/см, $a = 2 \cdot 10^{22} \text{ см}^{-4}$, w и E_{0m} изменяются в пределах $0.26 - 0.38$ мкм и $(2.5 - 5.5) \times 10^5$ В/см с ростом U от 5 В до пробоя при $U \approx 15$ В. Как видно, средняя по ИС степень компенсации достигает 10^{-2} , выполнены неравенства $E_1 \ll E_{0m} \ll E_2$, равно как и условия применимости теории $qU \gg \Delta$ и $\tilde{R}a \ll wa/2 \ll \bar{N}_d$. Таким образом, $p-n$ -переходы, изготовленные путем глубокой диффузии в сильно легированные полупроводники, являются наиболее подходящими объектами для исследования влияния крупномасштабных флуктуаций на поглощение света и межзонное туннелирование.

Список литературы

- [1] Шкловский Б. И., Эфрос А. Л. Электронные свойства легированных полупроводников М., 1979. 416 с.
- [2] Шкловский Б. И., Эфрос А. Л. // ЖЭТФ. 1970. Т. 59. В. 10. С. 1343—1352.
- [3] Меркулов И. А., Перель В. И. // ФТП. 1973. Т. 7. В. 6. С. 1197—1202.
- [4] Райх М. Э., Рузин И. М. // ФТП. 1985. Т. 19. В. 7. С. 1217—1225.
- [5] Гусятников В. Н., Райх М. Э. // ФТП. 1984. Т. 18. В. 6. С. 1077—1084.

Всесоюзный электротехнический
институт им. В. И. Ленина
Москва

Получена 19.10.1989
Принята к печати 21.02.1990
